

**О.П. Паюк<sup>1</sup>, І.М. Ліщинський<sup>2</sup>,  
О.В. Стронський<sup>1</sup>, М. Влчек<sup>3</sup>, А.О. Губанова<sup>4</sup>,  
Ц.А. Криськов<sup>4</sup>, П.Ф. Олексенко<sup>1</sup>**

**ЗМІНА ВЛАСТИВОСТЕЙ СТЕКОЛ  $As_2S_3$   
ПРИ ЛЕГУВАННІ РІДКОЗЕМЕЛЬНИМИ  
ТА ПЕРЕХІДНИМИ МЕТАЛАМИ:  
DSC ДОСЛІДЖЕННЯ  
ТА РАМАНІВСЬКА СПЕКТРОСКОПІЯ**

Наведено результати досліджень впливу легування на магнітні та термічні властивості, а також структуру склоподібних напівпровідників системи As—S, легованих марганцем масова частка (1, 2, 5, 8 %), хромом (масова частка 0,5, 0,75 %) й іттербієм (масова частка 0,5, 1, 2 %), за допомогою SQUID-магнітометра, диференційного сканувального калориметра та комбінаційного розсіювання світла. Оцінено енергію активації процесу переходу в скло з використанням формули Кісінджера.

**Ключові слова:** парамагнетик, фазовий перехід, закон Кюри—Вейса, енергія активації.

**ВСТУП**

Інтенсивне використання халькогенідних склоподібних напівпровідників (ХСН) у техніці, особливо в електроніці та оптоелектроніці, внаслідок їх унікальних фізичних властивостей (оптична прозорість в ІЧ-діапазоні, широка область склоутворення, велика різноманітність фотоіндукованих ефектів: фотозатемнення та фотопросвітлення, фотокристалізація, фотоіндукована анізотропія, фотодифузія металів та ін., стійкість в агресивних середовищах), зумовлює більш різностороннє вивчення цих властивостей. У склоподібному стані атоми халькогенідів мають добре визначене координаційне число [1]. У головному стані електронна конфігурація зовнішньої оболонки елементів S, Se і Te —  $s^2p^4$ . У склі типу  $A_2^V B_3^VI$  (A=As, Sb; B=S, Se, Te) структурою є сітка з повністю насиченими двома і трьома ковалентними зв'язками елементів  $B^VI$  і  $A^V$ . Кожен із атомів As пов'язаний з трьома атомами халькогеніда. Унаслідок координації з двома зв'язками у кожного з атомів халькогеніда залишається пара незв'язаних електронів — так звана одиночна парна орбіталь. Ця вільна пара електронів не бере участі в утворенні хімічних зв'язків. Органічним наслідком методик виготовлення халькогенідних стекол є наявність у них великої кількості дефектів: вакансії, розірвані зв'язки та атоми без зв'язків.

В цьому контексті цікавим для досліджень є вплив легування сполук  $As_2S_3$  атомами з великим значенням власного магнітного моменту Cr, Mn та Yb, за рахунок електронної конфігурації атомів  $As_2S_3$ .

Результати досліджень свідчать, що ХСН, до складу яких входять іони рідкоземельних елементів та перехідних металів, зазнають суттєвих змін не тільки електричних, термофізичних, механічних та магнітних, а й оптичних властивостей.

**ЕКСПЕРИМЕНТ**

Склоподібні сплави систем As—S—Cr (з масовою часткою Cr 0,5 та 0,75 %), As—S—Mn (з масовою часткою Mn 1, 2, 5, 8 %) та As—S—Yb (з масовою часткою Yb 0,5, 1 та 2 %) синтезувалися у вакуумо-

© О.П. Паюк, І.М. Ліщинський, О.В. Стронський, М. Влчек, А.О. Губанова,  
Ц.А. Криськов, П.Ф. Олексенко, 2011

ваних до залишкового тиску  $10^{-4}$  Па кварцових ампулах методом вакуумної сублимації. Чистота початкових елементів становила 99,999 %. Ампули нагрівали у двозонних електропечах зі швидкістю 80 К/год та витримували за температури 1010 К протягом 80 год з подальшим охолодженням в технологічній печі зі швидкістю 10 К/год. Склоподібні зразки для оптичних та калориметричних вимірювань отримано у вигляді стержнів діаметром 10 мм.

Аморфна структура стекол перевірялась за кімнатної температури за допомогою X-дифрактометра SEIFERT XRD 3000 PTS з джерелом випромінювання  $\text{CuK}_\alpha$  ( $\lambda = 1,5418 \text{ \AA}$ ). Відсутність гострих піків на дифрактограмах підтверджує склоподібну природу стекол.

Фазові переходи і температури переходу в склоподібний стан (температури склування) досліджувалися за допомогою диференційного сканувального калориметра NETZSCH DSC 404 (з точністю  $\pm 0,5 \text{ K}$ ). Калориметричні вимірювання проводилися на порошкоподібних зразках масами  $\sim 20$  мг в атмосфері аргону за змін температури 40–250 °С. Швидкість нагрівання становила  $q = 5, 10, 15, 20 \text{ K/хв}$ . Температурні та енергетичні калібрування калориметра виконували під час розплаву чистих металів In, Sn, Bi, Pb, Al, Cu з відомими точними значеннями температури і ентальпії плавлення.

Спектри комбінаційного розсіювання (КР) світла вивчалися за кімнатної температури із використанням ІЧ фур'є-спектрометра BRUKER IFS55 EQUINOX з приставкою FRA-106 та Nd:YAG-лазера з довжиною хвилі 1,06 мкм.

## РЕЗУЛЬТАТИ ТА ЇХ ОБГОВОРЕННЯ

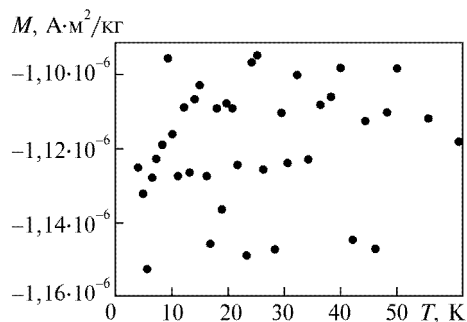
Відомо, що XCN є діамгнетиками, зокрема  $\text{As}_2\text{S}_3$  (рис. 1). Наявність домішок Cr, Mn та Yb у матриці скла  $\text{As}_2\text{S}_3$  змінює магнітні властивості зразків [2, 3, 5, 6]. Так, у постійному магнітному полі (порядку  $B = 5 \text{ T}$ ) існує залежність питомого магнітного моменту  $M = M(T)$ , характерна парамагнетикам та феромагнетикам у парамагнітній області температур [6], та описується законом Кюрі—Вейса [4]. Однак для  $\text{As}_2\text{S}_3$ , легованого марганцем за менших полів та низьких температур ( $0 < T < 25 \text{ K}$ ), спостерігається фазовий перехід, причому подібний до переходу у феромагнітний стан [6].

На рис. 2 подано термограми стекол системи As—S—Cr з різним вмістом хрому за швидкості нагрівання 10 К/хв. Як бачимо, введення масової частки Cr до 0,75 % суттєво не впливає на значення  $T_g$  та зі зростанням рівня легування Cr призводить до його зменшення. Для стекол, легованих Yb 2 %, спостерігається різке зниження температури склування. Значення  $T_g$  визначалися як початок склоутворення. Більш детально досліджувалися стекла з різним вмістом марганцю за швидкостей нагрівання 5, 10, 15, 20 К/хв. Зазначимо, що із збільшенням швидкості нагрівання значення  $T_g$  зміщується в напрямі вищих температур.

Для аналізу залежності  $T_g$  від швидкості нагрівання  $\alpha$  застосовували два способи. Перший із них — за емпіричним співвідношенням такого вигляду:

$$T_g = A + B \cdot \log \alpha, \quad (1)$$

Рис. 1. Температурна залежність питомого магнітного моменту стекол  $\text{As}_2\text{S}_3$



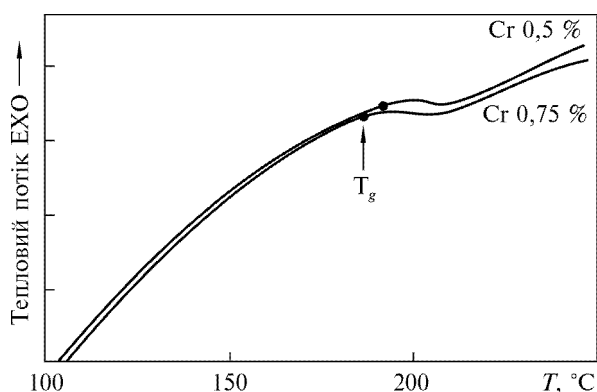


Рис. 2. Термограма  $\text{As}_2\text{S}_3$  з різним вмістом Cr. Швидкість нагрівання — 10 К/хв

де  $A$  та  $B$  — константи. Значення  $A$  та  $B$  для різних стекел наведено в таблиці. Залежність  $T_g$  від  $\log \alpha$  зображена на рис. 3. Параметр  $A$  дорівнює температурі склування за швидкості нагрівання 1 К/хв, а  $B$  —

стала, яка характеризує композиційний склад скла, зокрема різні дослідники пов'язують нахил  $B$  із (1) зі швидкістю охолодження розплаву: чим нижча швидкість, тим менше значення  $B$ . Фізичний зміст  $B$  полягає у відклику конфігураційних змін в області склування і означає те, що за різних її значень скла набувають різних структуральних конфігурацій.

Другий спосіб аналізу  $T_g$  ґрунтується на лінійній залежності Кісінджера:

$$\ln(T_g^2/\alpha) = E_a / RT_g + \text{const}, \quad (2)$$

де  $E_a$  — енергія активації переходу в скло. Залежність  $\ln(T_g^2/\alpha)$  від  $(1000/T_g)$  для стекел  $\text{As}_2\text{S}_3$ , легуваних Mn різної концентрації, наведено на рис. 4. Звідси можна оцінити енергію активації переходу в скло. Значення  $E_a$  наведені в таблиці. Як бачимо з отриманих даних, зростання рівня легування марганцем стекел  $\text{As}_2\text{S}_3$  призводить до помітного зменшення температури склування, а отже, і енергії активації переходу в скло. Зниження  $T_g$  в стеклах системи As—S—Mn спостерігається тоді, коли S заміщується Mn. Структура  $\text{As}_2\text{S}_3$  складається із сітки тривимірних  $\text{AsS}_{3/2}$  структурних одиниць. Коли S заміщується Mn, структура тривимірної сітки трансформується в шарувату структуру з ланцюжками. Виникнення вандерваальсівських зв'язків між цими ланцюжками призводить до зменшення  $T_g$ . Домішка Mn руйнує деякі трикутні пірамідальні структурні одиниці, які утворюються за участю атомів S і може взаємодіяти з вільними S-ланцюжками. Це спричиняє низькотемпературну гетерогенну

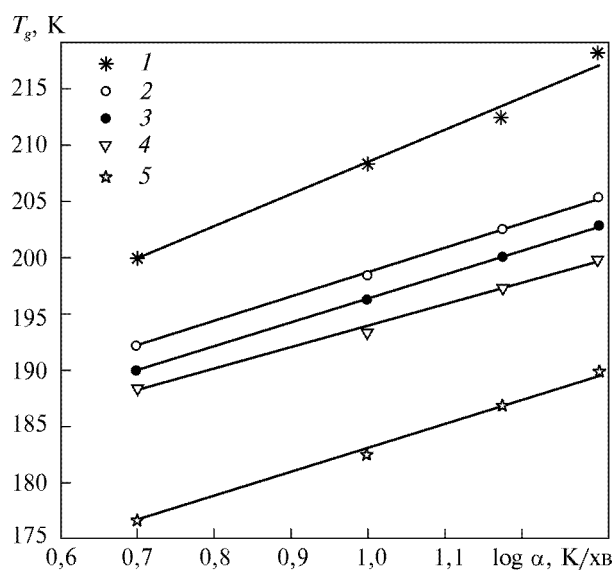


Рис. 3. Залежність  $T_g$  від  $\log \alpha$  для стекел  $\text{As}_2\text{S}_3$  з різною масовою часткою Mn, %: 1 — 0; 2 — 1; 3 — 2; 4 — 5; 5 — 8

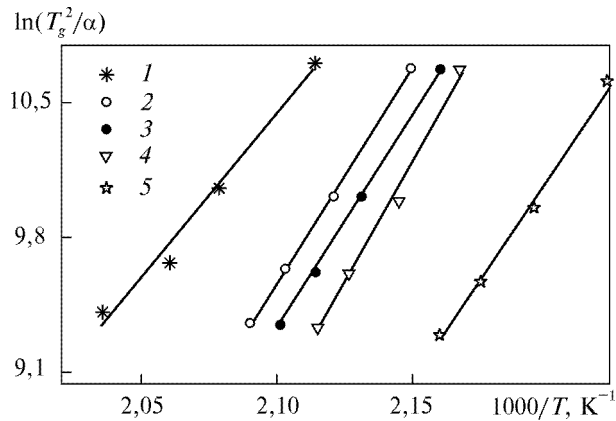


Рис. 4. Залежність  $\ln(T_g^2/\alpha)$  від  $(1000/T_g)$  для стекол  $\text{As}_2\text{S}_3$  з різною масовою часткою Mn. Позначення такі самі, як на рис. 3

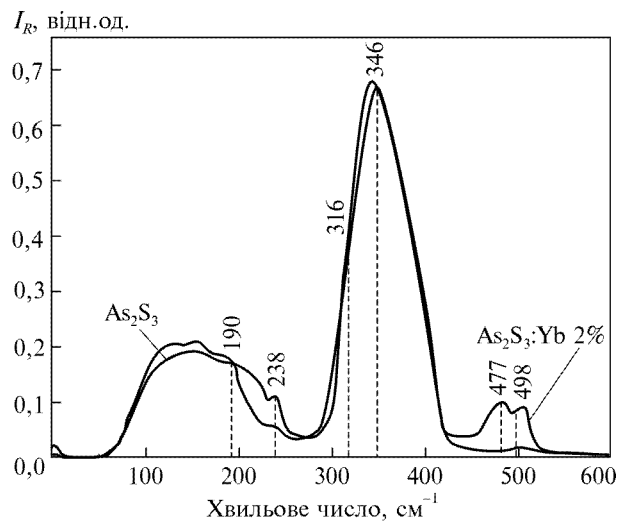


Рис. 5. Спектри КР стекол  $\text{As}_2\text{S}_3$  та  $\text{As}_2\text{S}_3:\text{Yb}$  2%. Спектри нормовані на інтенсивність  $\sim 346 \text{ cm}^{-1}$

нуклеацію, тоді як стійкіші структурні пірамідальні одиниці можуть формувати однорідне ядро [7–11].

Спектри комбінаційного розсіяння (КР) світла використовувалися для отримання інформації про основну структуру стекол  $\text{As}_2\text{S}_3$ , легованих Mn, Cr та Yb. Наявність домішок з великим значенням власного магнітного моменту (Mn, Cr та Yb) у матриці скла зумовлює збільшення інтенсивності смуг 192, 227, 236, 365  $\text{cm}^{-1}$ , що відповідають коливанням нестехіометричних молекулярних фрагментів  $\text{As}_4\text{S}_4$ . Також зразки проявляють слабку лінію поблизу 496  $\text{cm}^{-1}$ , яку відносять до коливання гомополярних S–S хімічних зв'язків та інтенсивність якої з легуванням зменшується (для  $\text{As}_2\text{S}_3:\text{Yb}$  2% різко збільшується, також виникають смуги поблизу 476  $\text{cm}^{-1}$ , характерних для коливань атомів у кільцях  $\text{S}_8$  (рис. 5)). Інтенсивність смуги при 315–317  $\text{cm}^{-1}$  зростає зі зменшенням концентра-

#### Кінетичні параметри склування

Склад стекол	Співвідношення (1)		Співвідношення (2)
	A, К	B, хв	$E_a$ , кДж/моль
$\text{As}_2\text{S}_3$	179,3	29,2	142
$\text{As}_2\text{S}_3:\text{Mn}$ 1%	176,6	22,0	141
$\text{As}_2\text{S}_3:\text{Mn}$ 2%	174,8	21,5	140
$\text{As}_2\text{S}_3:\text{Mn}$ 5%	174,5	19,3	130
$\text{As}_2\text{S}_3:\text{Mn}$ 8%	161,3	21,7	101

ції хрому, марганцю та іттербію, яка може бути пов'язана з пірамідальними структурними одиницями  $\text{AsS}_3$  з додатковими атомами сірки, включеними в  $(-\text{S}-\text{S}-)$  ланцюжки, що з'єднують пірамідальні фрагменти.

В області  $130-190 \text{ cm}^{-1}$  з'являються смуги, які можуть бути зумовлені утворенням нових сірковмісних структурних одиниць, подібних до  $\text{MnS}$  молекулярних фрагментів [1, 14–18].

## ВИСНОВКИ

Термічні властивості і структура стекел  $\text{As}_2\text{S}_3$ , легованих  $\text{Mn}$ ,  $\text{Cr}$  та  $\text{Yb}$ , досліджувалися за допомогою диференційної сканувальної калориметрії і раманівської спектроскопії. Визначено температури переходу в скло для стекел  $\text{As}_2\text{S}_3$ , легованих  $\text{Mn}$ ,  $\text{Cr}$  та  $\text{Yb}$  різної концентрації. Дослідження показали, що у разі збільшення вмісту  $\text{Mn}$  і  $\text{Cr}$  температура склування зменшується, а для стекел із вмістом іттербію 2 % відбувається різке зниження температури склування.

Оцінено енергію активації процесу переходу в скло для стекел  $\text{As}_2\text{S}_3$  із масовою часткою марганцю 1, 2, 5, 8 %.

Поява додаткових смуг, окрім подібних до коливань основних структурних одиниць стекел  $\text{As}_2\text{S}_3$  — пірамід  $\text{AsS}_{3/2}$  та нестехіометричних молекулярних фрагментів для стекел  $\text{As}-\text{S}$ , що містять гомополярні  $\text{S}-\text{S}$  та  $\text{As}-\text{As}$  зв'язки, не спостерігається. Головна особливість КР спектрів полягає у зміні відносної концентрації основних та нестехіометричних структурних елементів, властивих для стекел  $\text{As}_2\text{S}_3$ .

**O.P. Paiuk, I.M. Lishchynsky, A.V. Stronski,  
M. Viček, A.A. Gubanova, Ts. A. Kryskov, P.F. Oleksenko**

### **CHANGE OF PROPERTIES OF $\text{As}_2\text{S}_3$ GLASSES DOPED WITH RARE-EARTH AND TRANSITION METALS: DSC AND RAMAN SPECTROSCOPY STUDY**

The results are presented of investigations of doping influence on magnetic and thermal properties and structure of chalcogenide vitreous semiconductor of  $\text{As}-\text{S}$  samples doped with manganese (1, 2, 5, 8 % of weight), chromium (0.5 and 0.75 % weight), ytterbium (0.5, 1, 2 % of weight) and investigated with the use of SQUID-magnetometer, DSC and Raman scattering. The activation energy of glass transition was estimated using Kissinger's formula.

**Keywords:** paramagnetics, phase transition, activation energy, Curie-Weiss law.

1. *Фотостимулированные* процессы в халькогенидных стеклообразных полупроводниках и их практическое применение / Е.Ф. Венгер, А.В. Мельничук, А.В. Стронский. — Киев: Академперіодика, 2007. — 283 с.
2. *Some magnetic properties of chalcogenide glasses  $\text{As}_2\text{S}_3$  and  $\text{As}_2\text{Se}_3$ , doped by Cr, Mn, and Yb* / A. Gubanova, Ts. Kryskov, O. Paiuk et al. // Int. Conf.: Materials Science and Condensed Matter Physics, Sept. 23–26, 2008, Chisinau, Moldova. Abstracts. — P. 46.
3. *Influence of admixtures Cr, Mn and Yb on magnetic properties  $\text{As}_2\text{S}_3$*  / A.A. Gubanova, Ts.A. Kryskov, A.V. Stronski, O.P. Paiuk // Proc. Int. Conf.: Electronics and Applied Physics, Oct. 23–25, 2008, Kyiv, Ukraine. — P. 68, 69.
4. *Вонсовский С.В.* Магнетизм. — М.: Наука, 1971. — 1032 с.
5. *Magnetic behavior of the diluter magnetic semiconductor  $(\text{Zn}_{1-x}\text{Mn}_x)_3\text{As}_2$*  / C.J. Denissen, Sun Dakun, K. Kopinga et al. // Phys. Rev. B. — 1987. — **36**, N 10. — P. 5316–5325.
6. *Some magnetic properties of chalcogenide glasses  $\text{As}_2\text{S}_3$  and  $\text{As}_2\text{Se}_3$ , doped by Cr, Mn and Yb* / A. Gubanova, Ts. Kryskov, O. Paiuk et al. // Moldavian J. Phys. Sci. — 2009. — **8**, N 2. — P. 178–185.
7. *Comparative analysis of calorimetric studies in  $\text{Se}_{90}\text{M}_{10}$  (M=In,Te,Sb) chalcogenide glasses* / N. Mehta, A. Kumar // J. Thermal Anal. — 2007. — **87**, N 2. — P. 342–348.
8. *Study of characteristic temperatures and nonisothermal crystallization kinetics in  $\text{As}-\text{Se}-\text{Te}$  glass system* / V.S. Shiryayev, J.-L. Adam, X.H. Zhang, M.F. Churbanov // Solid State Sci. — 2005. — **7**. — P. 209–215.

9. *Calorimetric studies of  $\text{Se}_{80-x}\text{Te}_{20}\text{Bi}_x$  bulk samples* / N. Suri, K. S. Bindra, P. Kumar, R. Tangaraj // *J. Non-Cryst. Solids.* — 2007. — **353**. — P. 1264—1267.
10. *Калориметрія аморфних сплавів As—Te* / І.М. Лішинський, І.Г. Кабан, В. Гоер // *Фізика і хімія твердого тіла.* — 2006. — **7**, № 4. — С. 663—669.
11. *The selenium based chalcogenide glasses with low content of As and Sb: DSC, StepScan DSC and Raman spectroscopy study* / J. Holubová, Z. Černošek, E. Černošková // *J. Non-Cryst. Solids.* — 2009. — **355**. — P. 2050—2053.
12. *Study of microstructure in  $\text{Ag}_x(\text{As}_{0.33}\text{Se}_{0.67})_{100-x}$  chalcogenide glasses* / S. Stehlik, P. Knoteč, T. Wagner et al. // *Ibid.* — 2009. — **355**. — P. 2054—2058.
13. *The glass transition and crystallization kinetic studies on  $\text{BaNaB}_9\text{O}_{15}$  glasses* / R. Vaish, K. V. R. Varma // *J. Phys. D: Appl. Phys.* — 2009. — **42**. — P. 1—7.
14. *Raman spectra and electron microscopic investigations of the sections of modified  $\text{As}_2\text{S}_3$  glasses* / N. Mateleshko, V. Mitsa, E. Borkach // *Semiconductor Phys., Quant. Electronics and Optoelectronics.* — 2004. — **7**, N 3. — P. 235—238.
15. *The temperature dependence of photoinduced fluidity in chalcogenide glasses: a Raman spectroscopic study* / D.Th. Kastrissios, S.N. Yannopoulos // *J. Non-Cryst. Solids.* — 2002. — **299—302**. — P. 935—939.
16. *Spectroscopic study of  $\text{As}_2\text{S}_3$  glasses doped with Dy, Sm and Mn* / M.S. Iovu, S.D. Shutov, A.M. Andriesh et al. // *Ibid.* — 2003. — **326—327**. — P. 306—310.
17. *Structure and optical properties of chalcogenide glasses doped with  $\text{Pr}^{3+}$  and  $\text{Yb}^{3+}$  ions* / V. Frumarova, M. Frumar, J. Oswald, M. Kincl, M. Vlček // *Ibid.* — 2009. — **355**. — P. 306—310.
18. *Бозонний пик в спектрах комбінаційного розсіяння стекол  $\text{As}_x\text{S}_{1-x}$*  / Д. Арсова, Я. Булметис, К. Рапчис и др. // *ФТП.* — 2005. — **39**, № 8. — С. 995—997.

<sup>1</sup>Інститут фізики напівпровідників  
ім. В. Є. Лашкарьова  
НАН України  
Проспект Науки, 41  
03028 Київ

Отримано 15.03.2011

<sup>2</sup>Прикарпатський національний університет  
ім. В. Стефаника  
Кафедра теоретичної і експериментальної фізики  
Вул. Шевченка, 57  
76025 Івано-Франківськ

<sup>3</sup>University of Pardubice  
Faculty of Chemical Technology  
573, Studentská Str.  
53210 Pardubice, Czech Republic

<sup>4</sup>Кам'янець-Подільський національний університет  
ім. І. Огієнка  
Кафедра фізики  
Вул. Огієнка, 61  
32300 Кам'янець-Подільський